



# Mecânica do Voo

Estudo quantitativo do movimento fúgoidal





## Referências Bibliográficas

- **ITEN 1.9**: Paglione, P. ; Zanardi, M. C., [Estabilidade e Controle de Aeronaves](#), ITA, 1990.
- Bernard Etkin, Lloyd Duff Reid, [Dynamics of Flight – Stability and Control](#), John Wiley & Sons, 3ª Ed, 1996.
- STEVENS, Brian L.; LEWIS, Frank L. Aircraft control and simulation. 2nd ed. Hoboken: John Wiley & Sons, 2003



## 10. Estudo quantitativo do movimento fugoidal

**ITEM 1.9 APOSTILA**



10.1. Linearização das equações do movimento

10.2. Movimento Fugoidal Livre:  
resposta do movimento do CG à uma perturbação externa

10.3. Determinação do Retorno ao equilíbrio para o movimento fugoidal livre

10.4. Parâmetros que influenciam as características do movimento fugoidal

10.5. Resposta do avião a uma variação do ângulo de ataque e da potência

### EQUAÇÕES DO MOVIMENTO DO CENTRO DE MASSA:

$$m\dot{V} = F \cos(\alpha + \alpha_F) - mg \sen \gamma - \frac{1}{2} \rho S V^2 C_D \quad (1a)$$

$$\dot{H} = V \sen \gamma \quad (1b)$$

$$m V \dot{\gamma} = F \sen(\alpha + \alpha_F) - mg \cos \gamma + \frac{1}{2} \rho S V^2 C_L \quad (1c)$$



## 10.1. Linearização das equações do movimento

As equações de equilíbrio do voo horizontal:

$$F_e \cos(\alpha_e + \alpha_F) = \frac{1}{2} \rho_e S V_e^2 C_{D,e} \quad (2a)$$

$$\dot{H} = 0 \quad (2b)$$

$$mg - F_e \sin(\alpha_e + \alpha_F) = \frac{1}{2} \rho_e S V_e^2 C_{L,e} \quad (2c)$$

Efetuando (1) – (2), obtemos:

$$m\dot{V} = F \cos(\alpha + \alpha_F) - F_e \cos(\alpha_e + \alpha_F) - mg \sin \gamma - \frac{1}{2} S (\rho V^2 C_D - \rho_e V_e^2 C_{D,e}) \quad (3a)$$

$$\dot{H} = V \sin \gamma \quad (3b)$$

$$m V \dot{\gamma} = F \sin(\alpha + \alpha_F) - F_e \sin(\alpha_e + \alpha_F) - mg (\cos \gamma - 1) + \frac{1}{2} S (\rho V^2 C_L - \rho_e V_e^2 C_{L,e}) \quad (3c)$$



Introduzimos aqui:

$$\Delta \hat{V} = \frac{V - V_e}{V_e} \quad , \quad \Delta H = H - H_e \quad , \quad \Delta \hat{F} = \frac{F - F_e}{F_e} \quad , \quad \Delta \gamma = \gamma - \gamma_e = \gamma$$

$$V - V_e = V_e \Delta \hat{V} \quad \quad V = V_e (\Delta \hat{V} + 1)$$

Na linearização vamos considerar a atmosfera padrão pela qual:  $\rho_H = \frac{1}{\rho} \frac{d\rho}{dH} = -\frac{1}{T} \left( \frac{g}{R} + \frac{dT}{dH} \right)$

Vamos linearizar os diversos termos de (3), considerando pequenas variações em torno das condições de equilíbrio.

$$1. \quad \text{sen } \gamma = \gamma \quad e \quad \cos \gamma = 1$$

$$2. \quad \text{sen } (\alpha + \alpha_F) = \text{sen } (\alpha_e + \alpha_F) + \cos (\alpha_e + \alpha_F) \Delta \alpha, \quad \Delta \alpha = (\alpha - \alpha_e)$$

$$\cos(\alpha + \alpha_F) = \cos(\alpha_e + \alpha_F) - \text{sen } (\alpha_e + \alpha_F) \Delta \alpha$$

**NOTA:** Salienta-se que as variações no ângulo de ataque  $\Delta \alpha$  estão diretamente ligadas as variações do profundor  $\Delta \delta$  e se  $\Delta \delta = 0$  o ângulo de ataque permanece igual ao de equilíbrio.

**Assim  $\Delta \alpha$  é uma variável de controle.**

3. Admitindo que a tração depende da velocidade  $V$ , da altitude  $H$  e da posição da manete  $\pi$ , temos:

$$F = F_e + \left[ \frac{\partial F}{\partial V} \right]_e \Delta V + \left[ \frac{\partial F}{\partial H} \right]_e \Delta H + \left[ \frac{\partial F}{\partial \pi} \right]_e \Delta \pi$$

Se para uma posição fixa da manete, a tração depende da velocidade e altitude através da relação

$$\frac{F}{F_e} = \left( \frac{V}{V_e} \right)^{n_V} \left( \frac{\rho}{\rho_e} \right)^{n_\rho}$$

Então:  $F = F_e + \left[ \frac{\partial F}{\partial V} \right]_e V_e \Delta \hat{V} + \left[ \frac{\partial F}{\partial \rho} \frac{\partial \rho}{\partial H} \right]_e \Delta H$

$$\left[ \frac{\partial F}{\partial V} \right]_e = n_V \frac{F_e}{V_e} \quad e \quad \left[ \frac{\partial F}{\partial \rho} \right]_e = n_\rho \frac{F_e}{\rho_e} \quad \left[ \frac{\partial F}{\partial \rho} \frac{\partial \rho}{\partial H} \right]_e = F_e n_\rho \rho_H$$

$$F - F_e = F_e (n_V \Delta \hat{V} + n_\rho \rho_H \Delta H)$$

Definindo  $\Delta \hat{F} = \left[ \frac{\partial F}{\partial \pi} \right]_e \frac{\Delta \pi}{F_e}$

$$F = F_e (1 + n_V \Delta \hat{V} + n_\rho \rho_H \Delta H + \Delta \hat{F})$$





#### 4. $F \cos(\alpha + \alpha_F)$

$$F \cos(\alpha + \alpha_F) = F_e (1 + n_V \Delta \hat{V} + n_\rho \rho_H \Delta H + \Delta \hat{F}) \{ \cos(\alpha_e + \alpha_F) - \sin(\alpha_e + \alpha_F) \Delta \alpha \}$$

**Desprezando os termos de segunda ordem:**

$$F \cos(\alpha + \alpha_F) - F_e \cos(\alpha_e + \alpha_F) =$$

$$F_e \cos(\alpha_e + \alpha_F) [n_V \Delta \hat{V} + n_\rho \rho_H \Delta H + \Delta \hat{F}] - F_e \sin(\alpha_e + \alpha_F) \Delta \alpha$$

#### 5. $F \sin(\alpha + \alpha_F)$

$$F \sin(\alpha + \alpha_F) - F_e \sin(\alpha_e + \alpha_F) =$$

$$F_e \sin(\alpha_e + \alpha_F) [n_V \Delta \hat{V} + n_\rho \rho_H \Delta H + \Delta \hat{F}] + F_e \cos(\alpha_e + \alpha_F) \Delta \alpha$$





## 6. $\rho V^2 C_L$ ou $\rho V^2 C_D$

Vamos representar  $\rho V^2 C_L = f(V, H, C_L)$

$$\rho V^2 C_L = \rho_e V_e^2 C_{Le} + \left[ \frac{\partial f}{\partial V} \right]_e \Delta V + \left[ \frac{\partial f}{\partial H} \right]_e \Delta H + \left[ \frac{\partial f}{\partial C_L} \right]_e \Delta C_L$$

$$\frac{\partial f}{\partial H} = \frac{\partial f}{\partial \rho} \frac{\partial \rho}{\partial H}$$

$$\left[ \frac{\partial f}{\partial V} \right]_e = 2 \rho_e V_e C_{Le}$$

$$\left[ \frac{\partial f}{\partial C_L} \right]_e = \rho_e V_e^2$$

$$\left[ \frac{\partial f}{\partial H} \right]_e = \rho_e \rho_H V_e^2 C_{Le}$$

Considerando  $C_L = C_L(\alpha)$

$$\Delta C_L = C_L - C_{Le} = C_{L\alpha} \Delta \alpha$$

$$\text{Lembrando } \Delta \hat{V} = \frac{V - V_e}{V_e}$$

$$\Delta V = V_e \Delta \hat{V}$$

$$\rho V^2 C_L - \rho_e V_e^2 C_{Le} = \rho_e V_e^2 \{ C_{Le} [ 2 \Delta \hat{V} + \rho_H \Delta H ] + C_{L\alpha} \Delta \alpha \}$$

$$\rho V^2 C_D - \rho_e V_e^2 C_{De} = \rho_e V_e^2 \{ C_{De} [ 2 \Delta \hat{V} + \rho_H \Delta H ] + C_{D\alpha} \Delta \alpha \}$$

Lembrando ainda que no voo horizontal de equilíbrio:

$$F_e \cos(\alpha_e + \alpha_F) = \frac{1}{2} \rho_e S V_e^2 C_{D_e} - \frac{mg}{E'_e}$$
$$\frac{1}{2} \rho_e S V_e^2 C_{L_e} = mg \left( 1 - \frac{tg(\alpha_e + \alpha_F)}{E'_e} \right)$$

Equações linearizadas são dadas por

$$\Delta \dot{\hat{V}} = (n_V - 2) \frac{g \varepsilon'_e}{V_e} \Delta \hat{V} + (n_\rho - 1) \rho_H \frac{g \varepsilon'_e}{V_e} \Delta H - \frac{g}{V_e} \gamma -$$
$$\left( \frac{1}{2m} \rho_e S V_e^2 C_{D\alpha} - \frac{g tg(\alpha_e + \alpha_F)}{V_e E'_e} \right) \Delta \alpha + \frac{g}{V_e E'_e} \Delta \hat{F}$$

$$\dot{H} = V_e \gamma$$

$$\dot{\gamma} = \left[ \frac{2g}{V_e} + (n_V - 2) \frac{g \varepsilon'_e}{V_e} tg(\alpha_e + \alpha_F) \right] \Delta \hat{V} + \rho_H \left[ \frac{g}{V_e} + (n_\rho - 1) \frac{g \varepsilon'_e}{V_e} tg(\alpha_e + \alpha_F) \right] \Delta H +$$
$$\left( \frac{1}{2m} \rho_e S V_e^2 C_{L\alpha} + \frac{g}{V_e E'_e} \right) \Delta \alpha + \frac{g tg(\alpha_e + \alpha_F)}{V_e E'_e} \Delta \hat{F}$$



Na forma vetorial:

$$\dot{X} = \bar{A} X + \bar{B} U$$

$$X = \begin{pmatrix} \Delta \hat{V} \\ \Delta H \\ \gamma \end{pmatrix}, \quad \dot{X} = \begin{pmatrix} \Delta \dot{\hat{V}} \\ \Delta \dot{H} \\ \dot{\gamma} \end{pmatrix}, \quad U = \begin{pmatrix} \Delta \alpha \\ \Delta \hat{F} \end{pmatrix}, \quad \bar{B} = \begin{pmatrix} U_\alpha & U_F \\ 0 & 0 \\ \Gamma_\alpha & \Gamma_F \end{pmatrix}$$

$$\bar{A} = \begin{pmatrix} U_V & U_H & U_\gamma \\ 0 & 0 & V_e \\ \Gamma_V & \Gamma_H & 0 \end{pmatrix}$$

**X – INCLUI AS VARIÁVEIS DE ESTADO**  
**U – INCLUI AS VARIÁVEIS DE CONTROLE**



## 10.2. Movimento Fugoidal Livre: resposta do movimento do CG à uma perturbação externa

Quando os **controles não são acionados**, mas uma perturbação externa altera os valores da velocidade, altitude e ângulo de trajetória:

$$\dot{\mathbf{X}} = \bar{\mathbf{A}} \mathbf{X}$$

$$\bar{\mathbf{A}} = \begin{pmatrix} U_V & U_H & U_\gamma \\ 0 & 0 & V_e \\ \Gamma_V & \Gamma_H & 0 \end{pmatrix}$$

$$U_V = (n_V - 2) \frac{g}{V_e E_e'} \quad ; \quad U_H = (n_\rho - 1) \frac{g}{V_e E_e'} \rho_H; \quad U_\gamma = \frac{-g}{V_e}$$

$$\Gamma_V = \left[ \frac{2g}{V_e} + (n_V - 2) \frac{g}{V_e E_e'} \operatorname{tg}(\alpha_e + \alpha_F) \right] \quad \Gamma_H = \left[ \frac{g}{V_e} + (n_\rho - 1) \frac{g}{V_e E_e'} \operatorname{tg}(\alpha_e + \alpha_F) \right] \rho_H$$

A solução dependerá das raízes da equação característica:

$$\det(\bar{\mathbf{A}} - \mathbf{I}_3 s) = 0$$

$$s^3 + A_1 s^2 + A_2 s + A_3 = 0$$

$$s^3 + A_1 s^2 + A_2 s + A_3 = 0$$

$$A_1 = -(n_V - 2) \frac{g}{V_e E'_e}$$

$$A_3 = \frac{g^2}{V_e E'_e} \rho_H (n_V - 2 n_\rho)$$

$$A_2 = g \left[ \left( \frac{2g}{V_e^2} - \rho_H \right) \left( 1 - \frac{tg(\alpha_e + \alpha_F)}{E'_e} \right) + \frac{tg(\alpha_e + \alpha_F)}{E'_e} \left( n_V \frac{g}{V_e^2} - n_\rho \rho_H \right) \right]$$

**No movimento fugoidal as raízes da equação característica admitem em geral uma raiz real ( $s_1$ ) e um par de raízes complexas ( $s_{2,3} = a \pm i b$ ), de modo que a solução é:**

$$x = A e^{s_1 t} + K e^{at} \operatorname{sen}(b t + \Psi_x)$$

**ou**

$$x = A e^{s_1 t} + e^{at} (B \cos bt + C \operatorname{sen} b t)$$

**Se  $a < 0$  e  $s_1 < 0$  então a solução será amortecida e após uma perturbação externa o avião retornará ao voo de equilíbrio inicial.**



## APLICAÇÃO 1: avião MIRAGE III com as seguintes características:

$$m = 7400 \text{ kg}, \quad S = 36 \text{ m}^2, \quad \alpha_F = 0, \quad C_{L,\alpha} = \alpha/26, (\alpha \text{ em graus})$$
$$C_D = 0,015 + 0,4 C_L^2$$

### Condições de equilíbrio:

$$H_e = 0 \text{ (} T = 288,15 \text{ K)}, \quad V_e = 200 \text{ m/s}, \quad (\rho_H = -9,6 \times 10^{-5} \text{ m}^{-1})$$

$$F_e = 15591 \text{ N}; \quad \alpha_e = 2,122^\circ; \quad C_{L,e} = 0,0816; \quad C_{D,e} = 0,01767$$

$$E'_e = 4,621 + 0,037 = 4,658$$

Para baixa velocidade (avião à jato) tem-se que:

$$n_V = 0 \quad e \quad n_\rho = 1$$



Pode se calcular os coeficientes da equação característica

$$s^3 + A_1 s^2 + A_2 s + A_3 = 0$$

$$A_1 = 0,0216$$

$$A_3 = 1,982 \times 10^{-5}$$

$$A_2 = 9,80665 (5,817 \times 10^{-4} + 7,63 \times 10^{-7}) = 5,712 \times 10^{-3}$$

**e as raízes são:**

$$s_1 = -3,508 \times 10^{-3}$$

$$s_2 = -8,773 \times 10^{-3} + i 0,07465$$

$$s_3 = -8,773 \times 10^{-3} - i 0,07465$$

**O retorno ao equilíbrio é a soma de dois movimentos:**

**Um movimento aperiódico da forma :**  $x_1 = e^{-3,508 \cdot 10^{-3} t}$

**Um movimento sinusoidal amortecido da forma:**

$$x_2 = e^{-8,773 \cdot 10^{-3} t} \cos(0,07465 t)$$

**com período de**  $T = \frac{2\pi}{0,07465} = 84,16 \text{ s}$





Um movimento aperiódico da forma :  $x = e^{-3,508 \cdot 10^{-3}t}$ ,  
CONDUZ A UM RETORNO MUITO LENTO AO EQUILÍBRIO

t [minutos]	0	1	2	3	4	20=1200s
x	1	0,810	0,656	0,532	0,122	0,015

Um movimento sinusoidal amortecido da forma:

$$x = e^{-8,773 \cdot 10^{-3}t} \cos(0,07465 t)$$

É IGUALMENTE AMORTECIDO. ESSA É A OSCILAÇÃO FUGOIDAL.

t [segundos]	0	84,16	168,32	252,48	420,80
t [período]	0	T	2T	3T	5T
x	1	0,478	0,228	0,109	0,015



## APLICAÇÃO 2:

Supondo, agora, que o avião se encontra numa atmosfera cuja densidade é constante.

$$\rho_H = \frac{1}{\rho} \frac{d\rho}{dH} \longrightarrow \rho_H = 0 \longrightarrow A_3 = \frac{g^2}{V_e E'_e} \rho_H (n_V - 2 n_\rho) = 0$$

ou seja, procura-se ver qual a influência desta hipótese simplificada.

NESTE CASO:  $A_1 = 0,0216$

$$A_2 = 4,770 \cdot 10^{-3}$$

AS RAIZES DA EQUAÇÃO CARACTERÍSTICA:

$$s_1 = 0$$

$$s_2 = -10,53 \cdot 10^{-3} + i 0,06826$$

$$s_3 = -10,53 \cdot 10^{-3} - i 0,06826$$

**MOVIMENTO APERIÓDICO SE ANULA.**

**Movimento fugoidal se tornou mais amortecido, com um período de oscilação maior ( $T = 92,05s$ )**

### 10.3.Determinação do Retorno ao equilíbrio para o movimento fugoidal livre

A partir das condições iniciais dadas, isto é,  $\Delta\hat{V}(0)$ ,  $\gamma(0)$  e  $\Delta H(0)$  tem-se que:

$$\Delta\hat{V} = A_V e^{s_1 t} + k_V e^{at} \text{sen}(bt + \psi_V)$$

$$\Delta H = A_H e^{s_1 t} + k_H e^{at} \text{sen}(bt + \psi_H)$$

$$\Delta\gamma = \gamma = A_\gamma e^{s_1 t} + k_\gamma e^{at} \text{sen}(bt + \psi_\gamma)$$

sendo que as nove constantes  $A_i$ ,  $k_i$ ,  $\psi_i$  ( $i = V, H, \gamma$ ) dependem das condições iniciais.

**Ou ainda:**

$$\Delta\hat{V} = A_V e^{s_1 t} + e^{at} [B_V \cos bt + C_V \text{sen} bt]$$

$$\Delta H = A_H e^{s_1 t} + e^{at} [B_H \cos bt + C_H \text{sen} bt]$$

$$\Delta\gamma = \gamma = A_\gamma e^{s_1 t} + e^{at} [B_\gamma \cos bt + C_\gamma \text{sen} bt]$$



Para  $x = \Delta\hat{V}, \Delta H, \Delta\gamma$ :

$$x = A e^{s_1 t} + K e^{at} \sin(bt + \psi)$$

$$x = A e^{s_1 t} + e^{at} (B \cos bt + C \sin bt)$$

A relação entre as constantes  $K$ ,  $B$  e  $C$  é dada por:

$$K \sin \psi = B$$

$$K \cos \psi = C$$

$$\psi = \arctan\left(\frac{B}{C}\right)$$

$$K^2 = B^2 + C^2$$

As constantes são determinadas pelas condições iniciais

$$\begin{aligned}\dot{x} &= A s_1 e^{s_1 t} + e^{at} (B' \cos bt + C' \sin bt) \\ \ddot{x} &= A s_1^2 e^{s_1 t} + e^{at} (B'' \cos bt + C'' \sin bt)\end{aligned}$$

nas quais

$$B' = aB + bC$$

$$C' = aC - bB$$

$$B'' = aB' + bC'$$

$$C'' = aC' - bB'$$



Para  $x = \Delta\hat{V}, \Delta H, \Delta\gamma$ :

Conhecendo-se os valores de  $x, \dot{x}, \ddot{x}$  no instante inicial ( $t=0$ ), isto é,  $x_o, \dot{x}_o, \ddot{x}_o$ , tem-se para cada  $x$  que:

$$\begin{aligned}x_o &= A + B \\ \dot{x}_o &= A s_1 + B' = A s_1 + aB + bC \\ \ddot{x}_o &= A s_1^2 + a B' + b C' = A s_1^2 + (a^2 + b^2) + 2abC\end{aligned}$$

Na forma matricial:

$$\begin{bmatrix} x_o \\ \dot{x}_o \\ \ddot{x}_o \end{bmatrix} = \begin{bmatrix} 1 & 1 & 0 \\ s_1 & a & b \\ s_1^2 & a^2 - b^2 & 2ab \end{bmatrix} \begin{bmatrix} A \\ B \\ C \end{bmatrix}$$

Cuja solução:

$$A = x_o \frac{a^2 + b^2}{d} - \dot{x}_o \frac{2a}{d} + \ddot{x}_o \frac{1}{d}$$

$$C = x_o \frac{s_1(a^2 - b^2 - s_1 a)}{b d} + \dot{x}_o \frac{s_1^2 + b^2 - a^2}{b d} + \ddot{x}_o \frac{a - s_1}{b d}$$

$$B = x_o \frac{s_1 (s_1 - 2 a)}{d} + \dot{x}_o \frac{2a}{d} - \ddot{x}_o \frac{1}{d}$$

$$d = (s_1 - a)^2 + b^2$$

**Válidas para cada variável**  
 **$x = \Delta\hat{V}, \Delta H, \Delta\gamma$**

Dispondo-se das condições iniciais  $\Delta\hat{V}_o$ ,  $\Delta H_o$  e  $\Delta\gamma_o = \gamma_o$ , as derivadas primeiras e segundas são deduzidas por:

$$\begin{bmatrix} \Delta\dot{\hat{V}}_o \\ \Delta\dot{H}_o \\ \Delta\dot{\gamma}_o \end{bmatrix} = \bar{A} \begin{bmatrix} \Delta\hat{V}_o \\ \Delta H_o \\ \Delta\gamma_o \end{bmatrix} \quad e \quad \begin{bmatrix} \Delta\ddot{\hat{V}}_o \\ \Delta\ddot{H}_o \\ \Delta\ddot{\gamma}_o \end{bmatrix} = \bar{A} \begin{bmatrix} \Delta\dot{\hat{V}}_o \\ \Delta\dot{H}_o \\ \Delta\dot{\gamma}_o \end{bmatrix}$$

Com:

$$\bar{A} = \begin{bmatrix} U_V & U_H & -\frac{g}{V_e} \\ 0 & 0 & V_e \\ \Gamma_V & \Gamma_H & 0 \end{bmatrix}$$



## APLICAÇÃO: AIRBUS

### Dados:

$$H_e = 9000 \text{ m}$$

$$V_e = 200 \text{ m/s}$$

$$m = 120000 \text{ kg}$$

$$\ell = 6,61 \text{ m} \quad I_y = 9,72 \cdot 10^6 \text{ kg m}^2$$

$$C_D = 0,0175 + 0,06 C_L^2 \quad C_L = \frac{\alpha}{11,5} \quad (\alpha \text{ em graus})$$

$$C_{L\alpha} = 4,982 \text{ rad}^{-1} \quad C_{L\delta} = 0,435 \text{ rad}^{-1} \quad C_{Lq} = -0,7 \quad C_{L\dot{\alpha}} = -3$$

$$C_{m\alpha} = -1,246 \quad C_{m\delta} = -1,46 \quad C_{mq} = -15 \quad C_{m\dot{\alpha}} = -5 \quad C_{mo} = -0,025$$





**Vamos analisar 3 condições iniciais:**

- |   |                     |  |
|---|---------------------|--|
| a) $\Delta \hat{V}_0 = 0,01$ ( $\Delta V = 2 \text{ m/s}$ ) | $\Delta H_o = 0$    | $\Delta \gamma_o = \gamma_o = 0$                                 |
| b) $\Delta \hat{V}_0 = 0$                                   | $\Delta H_o = 100m$ | $\Delta \gamma_o = \gamma_o = 0$                                 |
| c) $\Delta \hat{V}_0 = 0,01$ ( $\Delta V = 2 \text{ m/s}$ ) | $\Delta H_o = 10m$  | $\Delta \gamma_o = \gamma_o = 1^\circ$ ( $0,01745 \text{ rad}$ ) |



Matriz  $\bar{A}$  do sistema de equações iniciais:

$$\bar{A} = \begin{bmatrix} -5,88707 \cdot 10^{-3} & 0 & -4,90333 \cdot 10^{-2} \\ 0 & 0 & 200 \\ 9,74698 \cdot 10^{-2} & -5,190645 \cdot 10^{-6} & 0 \end{bmatrix}$$

A equação característica:

$$s^3 + 0,58871 \cdot 10^{-2}s^2 + 0,59606 \cdot 10^{-2}s + 0,69543 \cdot 10^{-6} = 0$$

cujas raízes são:

$$s_1 = -1,1678 \cdot 10^{-3}$$

$$s_2 = -2,35963 \cdot 10^{-3} + i \cdot 7,71328 \cdot 10^{-2}$$

$$s_2 = -2,35963 \cdot 10^{-3} - i \cdot 7,71328 \cdot 10^{-2}$$

$$a = -2,35963 \cdot 10^{-3}$$

$$b = 7,71328 \cdot 10^{-2}$$



$$s_1 = -1,1678 \cdot 10^{-3}$$

$$a = -2,35963 \cdot 10^{-3}$$

$$b = 7,71328 \cdot 10^{-2}$$

**Solução:**

$$\Delta \hat{V} = A_V e^{s_1 t} + k_V e^{at} \text{sen}(bt + \psi_V)$$

$$\Delta H = A_H e^{s_1 t} + k_H e^{at} \text{sen}(bt + \psi_H)$$

$$\Delta \gamma = \gamma = A_\gamma e^{s_1 t} + k_\gamma e^{at} \text{sen}(bt + \psi_\gamma)$$

**ou**

$$\Delta \hat{V} = A_V e^{s_1 t} + e^{at} [B_V \cos bt + C_V \text{sen} bt]$$

$$\Delta H = A_H e^{s_1 t} + e^{at} [B_H \cos bt + C_H \text{sen} bt]$$

$$\Delta \gamma = \gamma = A_\gamma e^{s_1 t} + e^{at} [B_\gamma \cos bt + C_\gamma \text{sen} bt]$$



Primeiro caso

$$\Delta \hat{V}_0 = 0,01 \text{ (} \Delta V = 2 \text{ m/s)} \quad \Delta H_o = 0$$

$$\Delta \gamma_o = \gamma_o = 0$$

Condições iniciais

$$\begin{bmatrix} \Delta \dot{\hat{V}}_o \\ \Delta \dot{H}_o \\ \Delta \dot{\gamma}_o \end{bmatrix} = \bar{A} \begin{bmatrix} \Delta \hat{V}_o \\ \Delta H_o \\ \Delta \gamma_o \end{bmatrix} \quad e \quad \begin{bmatrix} \Delta \ddot{\hat{V}}_o \\ \Delta \ddot{H}_o \\ \Delta \ddot{\gamma}_o \end{bmatrix} = \bar{A} \begin{bmatrix} \Delta \dot{\hat{V}}_o \\ \Delta \dot{H}_o \\ \Delta \dot{\gamma}_o \end{bmatrix}$$

$$\bar{A} = \begin{bmatrix} -5,88707 \cdot 10^{-3} & 0 & -4,90333 \cdot 10^{-2} \\ 0 & 0 & 200 \\ 9,74698 \cdot 10^{-2} & -5,190645 \cdot 10^{-6} & 0 \end{bmatrix}$$

$$\Delta \hat{V}_0 = 0,01$$

$$\Delta H_o = 0$$

$$\Delta \gamma_o = 0$$

$$\Delta \dot{\hat{V}}_0 = -5,88707 \cdot 10^{-5}$$

$$\Delta \dot{H}_o = 0$$

$$\Delta \dot{\gamma}_o = 9,74698 \cdot 10^{-4}$$

$$\Delta \ddot{\hat{V}}_0 = -4,74460 \cdot 10^{-5}$$

$$\Delta \ddot{H}_o = 1,9494 \cdot 10^{-1}$$

$$\Delta \ddot{\gamma}_o = -5,73811 \cdot 10^{-6}$$

PARA CADA VARIÁVEL  $x = \Delta \hat{V}, \Delta H, \Delta \gamma$

- $A_x = x_o \frac{a^2+b^2}{d} - \dot{x}_o \frac{2a}{d} + \ddot{x}_o \frac{1}{d}$
- $B_x = x_o \frac{s_1(s_1-2a)}{d} + \dot{x}_o \frac{2a}{d} - \ddot{x}_o \frac{1}{d}$
- $C_x = x_o \frac{s_1(a^2-b^2-s_1a)}{bd} + \dot{x}_o \frac{s_1^2+b^2-a^2}{bd} + \ddot{x}_o \frac{a-s_1}{bd}$

$$d = (s_1 - a)^2 + b^2$$

A relação entre as constantes  $K$ ,  $B$  e  $C$  é dada por:

$$\begin{aligned} K_x \sin \psi_x &= B_x \\ K_x \cos \psi_x &= C_x \end{aligned}$$

$$\psi_x = \arctan \left( \frac{B_x}{C_x} \right)$$

$$K_x^2 = B_x^2 + C_x^2$$



$A_V = 1,98736 \cdot 10^{-3}$	$K_V = 8,02749 \cdot 10^{-3}$	$\frac{A_H}{A_V} = 1,64832 \cdot 10^4$
$B_V = 8,01264 \cdot 10^{-3}$	$\psi_V = -6,0832 \cdot 10^{-2} rad$ $= -3,48842^\circ$	$\frac{A_H}{A_Y} = -1,71261 \cdot 10^5$
$C_V = -4.88028 \cdot 10^{-4}$	$K_H = 3,2762 \cdot 10^{+1}$	$\frac{A_V}{A_Y} = -1,039 \cdot 10^1$
$A_H = 3,2788 \cdot 10^{+1}$	$\psi_H = -3,12614 rad$ $= -179,11480^\circ$	$\frac{K_H}{K_V} = 4,08122 \cdot 10^3$
$B_H = -3,2758 \cdot 10^{+1}$	$K_Y = 1,2641 \cdot 10^{-2}$	$\frac{K_H}{K_Y} = 2,59172 \cdot 10^3$
$C_H = -5,06163 \cdot 10^{-1}$	$\psi_Y = 1,55866 rad$ $= 89,11301^\circ$	$\frac{K_V}{K_Y} = 6,35035 \cdot 10^{-1}$
$A_Y = -1,91275 \cdot 10^{-4}$	$\psi_H - \psi_V = 184,37066^\circ$	
$B_Y = 1,91275 \cdot 10^{-4}$	$\psi_H - \psi_Y = 91,7522^\circ$	
$C_Y = 1,26396 \cdot 10^{-2}$	$\psi_Y - \psi_V = 92,6184^\circ$	



### Primeiro caso

$$\Delta \hat{V}_0 = 0,01 \text{ ( } \Delta V = 2 \text{ m/s) } \quad \Delta H_o = 0$$

$$\Delta \gamma_o = \gamma_o = 0$$

- O movimento aperiódico é maior na altitude.

O movimento oscilatório de maior amplitude é em altitude.

$$\frac{A_H}{A_V} = 1,64832 \cdot 10^4$$

$$\frac{A_H}{A_\gamma} = -1,71261 \cdot 10^5$$

$$\frac{A_V}{A_\gamma} = -1,039 \cdot 10^1$$

$$\frac{K_H}{K_V} = 4,08122 \cdot 10^3$$

$$\frac{K_H}{K_\gamma} = 2,59172 \cdot 10^3$$

$$\frac{K_V}{K_\gamma} = 6,35035 \cdot 10^{-1}$$





Calculando-se as respostas em  $\Delta\hat{V}$ ,  $\Delta H$  e  $\Delta\gamma$  para as outras duas condições iniciais, constata-se que:

- as relações das amplitudes dos movimentos aperiódicos e
- as diferenças de fase entre os movimentos oscilatórios

**são independentes das condições iniciais.**

Este resultado é geral e válido, portanto, para todo o movimento.

**EXERCÍCIO EXTRA: CALCULAR E CONFIRMAR O RESULTADO ACIMA  
PARA AS OUTRAS DUAS CONDIÇÕES INICIAIS FORNECIDAS.**



**APLICAÇÃO: MIRAGE ; 12km, 200m/s**

- **Raízes da equação característica;**
- **$s_1 = -0,00409$**
- **$s_2 = -0,006125 + 0,07813i$**
- **$s_3 = -0,006125 - 0,07813i$**

**Resposta perturbação externa:**  $\Delta V_0 = 10m/s$ ,  $\Delta H_0 = 30m$ ,  $\Delta \gamma = 0^\circ$

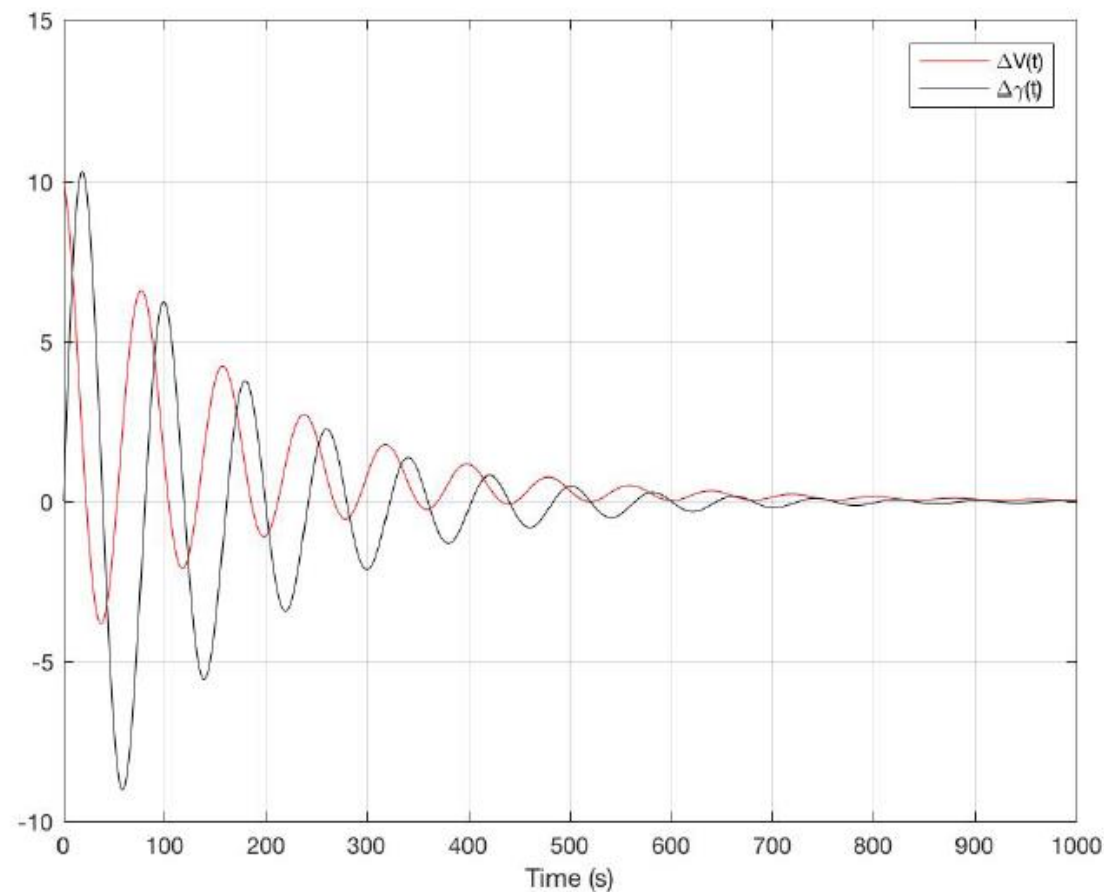
$$\Delta \hat{V} = 2,5492e^{-0,00409t} + e^{-0,006125t}(7,4508 \cos 0,07813t - 1,3745 \sin 0,07813t)$$

$$\Delta H = 31234e^{-0,00409t} + e^{-0,006125t}(-31204 \cos 0,07813t - 808.52 \sin 0,07813t)$$

$$\Delta \gamma = -0,6398e^{-0,00409t} + e^{-0,006125t}(0,6398 \cos 0,07813t + 12,2150 \sin 0,07813t)$$



## Velocidade e ângulo de trajetória de voo





## Altitude

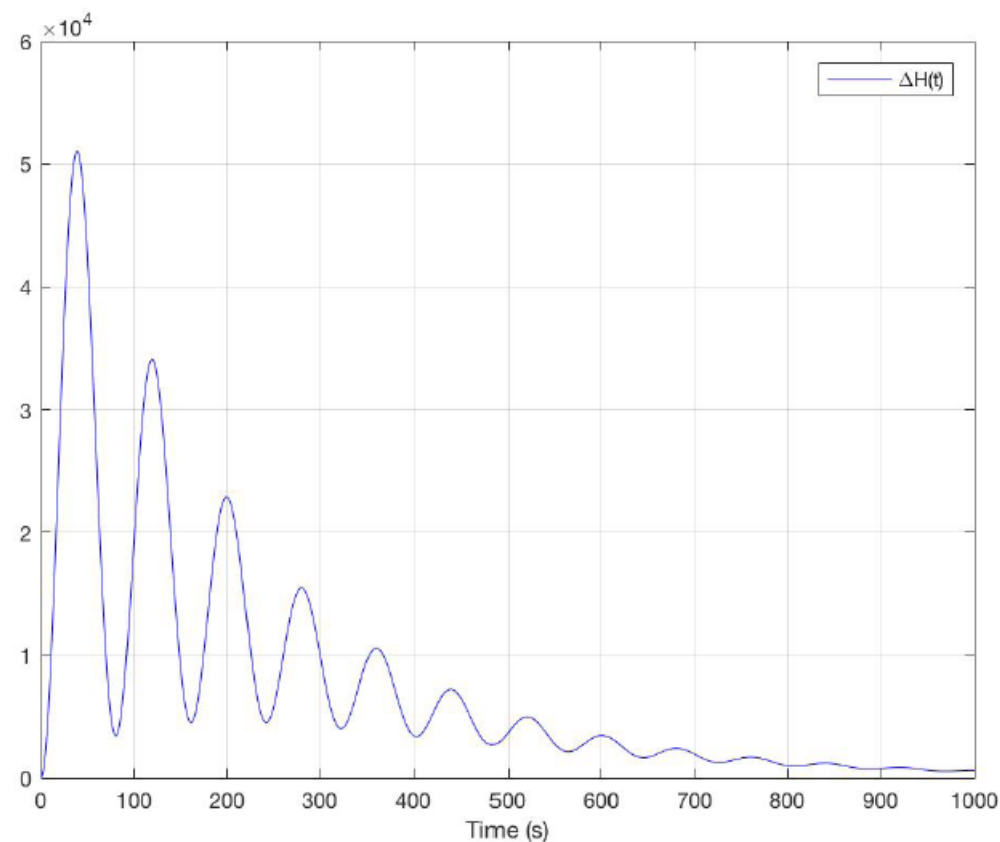


Figura 1: Comportamento da variação de altura do Mirage III no movimento fugoidal livre.

## 10.4. Parâmetros que influenciam as características do movimento fugoidal

$$s^3 + A_1 s^2 + A_2 s + A_3 = 0$$

### A. Movimento aperiódico

Ordem de grandeza da raiz real é pequena. Desprezando  $s^3 + A_1 s^2$  em comparação à  $A_2 s + A_3$

$$s_1 = -\frac{A_3}{A_2}$$

$$s_1 \cong \frac{g \rho_H (2 n_\rho - n_V)}{V_e E' \left( \frac{2g}{V_e^2} - \rho_H \right)}$$

#### A.1. influência das características propulsivas

Com todos os parâmetros fixados com exceção de  $n_\rho$  e  $n_V$  que dependem do tipo de motor.

Movimento aperiódico será tanto maior quanto maior  $(2n_\rho - n_V)$

## A.2. Influência da altitude e da velocidade

$$s_1 \cong \frac{g \rho_H (2 n_\rho - n_V)}{V_e E' \left( \frac{2g}{V_e^2} - \rho_H \right)}$$

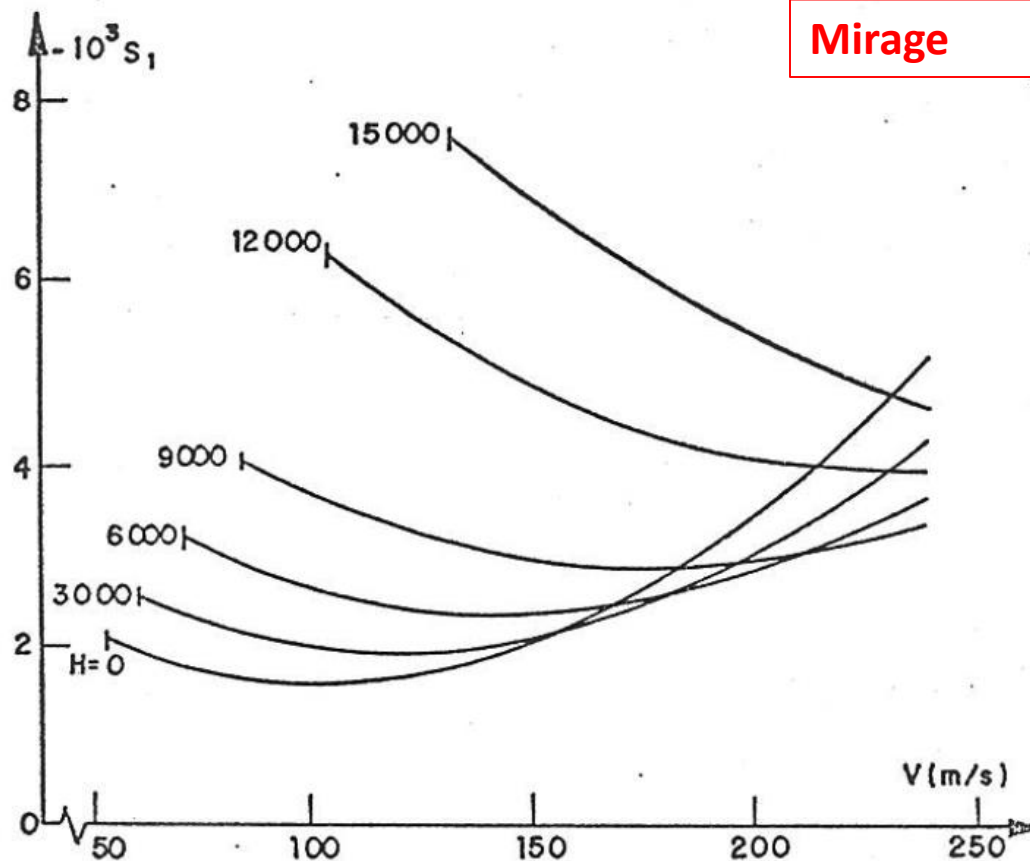
Tipo do Motor	$2n_\rho - n_V$
foguete	0
estato-reator	$\cong 0$
jato supersônico	1
jato subsônico	2
turbo-fan	2 a 3
turbo propulsor motor pistão	3

É impossível separar a influência da altitude e da velocidade sobre  $s_1$ .

A altitude intervém, através de  $\rho_H$  de maneira evidente mas também na relação  $V_e E'$ , pois  $V_e$  e  $E'$  são ligados por:

$$E' = \frac{C_L}{C_D} + tg(\alpha + \alpha_F) \quad e \quad V_e = \frac{2 m g}{\rho S} \frac{1}{C_L + C_D tg(\alpha + \alpha_F)}$$

## A.2. Influência da altitude e da velocidade



O limite de velocidade inferior para um valor máximo de ângulo de ataque de  $26^\circ$ , o limite superior foi tomado arbitrariamente a 250 m/s ( a fim de permanecer no domínio subsônico).





## B. Movimento oscilatório amortecido

$$s^3 + A_1 s^2 + A_2 s + A_3 = 0$$

$$s_2 = a + ib \quad e \quad s_3 = a - ib$$

Propriedades da equação de terceira ordem:

$$s_1 + s_2 + s_3 = -A_1$$

$$s_1(s_2 + s_3) + s_2 s_3 = A_2$$

$$s_1 s_2 s_3 = -A_3$$

Nota-se que:

$$s_1 + 2a = -A_1$$

$$2 a s_1 + a^2 + b^2 = A_2$$

O coeficiente  $A_3$  sendo pequeno, foi visto que uma boa aproximação de  $s_1$  seria:

$$s_1 = - \frac{A_3}{A_2}$$

Consequentemente,  $a$  e  $b$  são dados pelas seguintes equações aproximadas:

$$a = \frac{1}{2} \left( \frac{A_3}{A_2} - A_1 \right)$$

$$b^2 = A_2 + 2 a \frac{A_3}{A_2} - a^2$$



Aplicando-se estas relações no exemplo do avião MIRAGE III,  $H = 0$  km e  $V = 200$  m/s, obtém-se:

### **APROXIMADO:**

$$a = -9,795 \cdot 10^{-3} \quad b = 0,07466 \quad s_1 = -3,469 \cdot 10^{-3}$$

### **REAL:**

$$a = -8,773 \cdot 10^{-3} \quad b = 0,07465 \quad s_1 = -3,508 \cdot 10^{-3}$$

erros relativos: 1% para  $s_1$ ; 0,2% para  $a$  e desprezível para  $b$ .

O valor de  $b$  pode também ser tomado pelo valor aproximado de  $\sqrt{A_2}$ , ou seja, 0,0756 no caso do exemplo considerado.

É, portanto, válido se utilizar as fórmulas aproximadas para se conhecer a influência dos motores, da velocidade e da altitude sobre a oscilação fugoidal.



## Analizando agora o amortecimento e período:

O amortecimento do movimento, caracterizado pela parte real das duas raízes imaginárias conjugadas, é dado por:

$$a \cong \frac{g}{2 V_e E'} \left( -\frac{2n_\rho - n_V}{\frac{2g}{V_e^2} - \rho_H} \rho_H + n_V - 2 \right)$$

e o período do movimento é dado por:

$$T = \frac{2\pi}{b} \cong \frac{2\pi}{\sqrt{g \left( \frac{2g}{V_e^2} - \rho_H \right)}}$$

## B.1. Influência das características propulsivas

**Período:** O tipo de motor não tem, praticamente, nenhuma influência sobre o período, pois  $n_V$  e  $n_\rho$  não aparecem na expressão aproximada de T:

$$T = \frac{2\pi}{b} \cong \frac{2\pi}{\sqrt{g \left( \frac{2g}{V_e^2} - \rho_H \right)}}$$

## Amortecimento:

$$a \cong \frac{g}{2V_e E'} \left( -\frac{2n_\rho - n_V}{\frac{2g}{V_e^2} - \rho_H} \rho_H + n_V - 2 \right)$$

**Para o estado-reator ( $n_V = 2, n_\rho = 1$ ) o amortecimento é nulo. Para o motor-foguete ( $n_V = 0, n_\rho = 0$ ) o amortecimento é igual :**

$$a = -\frac{g}{V_e E'} \rho_H$$



**Amortecimento:** 
$$a \cong \frac{g}{2 V_e E'} \left( -\frac{2n_\rho - n_V}{\frac{2g}{V_e^2} - \rho_H} \rho_H + n_V - 2 \right)$$

Para os outros tipos de motores nos quais  $n_\rho = 1$ , pode-se escrever que:

$$a = \frac{g}{2 V_e E'} (n_V - 2) \left( 1 + \frac{\rho_H}{\frac{2g}{V_e^2} - \rho_H} \right)$$

O segundo parêntese é próximo da unidade e tende a zero quando a velocidade aumenta.

O movimento é, portanto, tanto mais amortecido quando se usa sistemas propulsivos na seguinte ordem (valor absoluto de  $a$  crescente): estado-reator ( $a = 0$ ), jato puro supersônico, jato puro subsônico, turbo-fan e motor a hélice.

Tipo do Motor	$2n_\rho - n_V$
foguete	0
estado-reator	$\cong 0$
jato supersônico	1
jato subsônico	2
turbo-fan	2 a 3
turbo propulsor motor pistão	3

## B.2. Influência da altitude e velocidade

$$T = \frac{2\pi}{b} \cong \frac{2\pi}{\sqrt{g \left( \frac{2g}{V_e^2} - \rho_H \right)}}$$

O período depende muito pouco da altitude sobretudo para baixas velocidades ( $\rho_H$  varia sensivelmente de  $10^{-4}$  ao nível do mar a  $1,3 \cdot 10^{-4}$  na troposfera (região mais próxima da superfície da Terra, no Equador 20 km de espessura), enquanto que  $2g/V_e^2$  vale  $78,5 \cdot 10^{-4}$  para  $V_e = 50m/s$  e  $4,9 \cdot 10^{-4}$  para  $V_e = 200m/s$ .

O período não depende da altitude acima da troposfera, pois  $\rho_H$  é constante. Por outro lado, o período aumenta com a velocidade. Desprezando-se  $\rho_H$  ante  $2g/V_e^2$ , tem-se ....  $T \cong \frac{\pi\sqrt{2}}{g} V_e \cong 0,45 V_e$



## B.2. Influência da altitude e velocidade

$$T \cong \frac{\pi \sqrt{2}}{g} V_e \cong 0,45 V_e$$

Esta expressão é apenas aproximada, mas dá um resultado válido com desvios da ordem de 10%.

De maneira análoga ao movimento aperiódico, é difícil se concluir qual a influência da altitude e da velocidade sobre o amortecimento do movimento fugoidal. Apenas o cálculo completo permite ver estas influências.